

2 Cabos em catenária

Neste capítulo é feita uma descrição do método utilizado na determinação das forças axiais que agem nas extremidades do cabo, da equação que define a forma que o mesmo assume quando sujeito a ação de seu próprio peso e de como o esforço de tração varia ao longo do comprimento. A seguir, um breve estudo sobre as deformações sofridas pelos cabos é apresentado para justificar a hipótese de inextensibilidade. Por último, apresentam-se algumas características fornecidas pelos fabricantes de cabos.

2.1. Determinação das reações sobre os pontos de fixação do cabo

Cabos são, por definição, elementos estruturais capazes de resistir somente a esforços axiais de tração. A Figura 2.1a apresenta alguns cabos de mesma seção transversal, densidade e comprimentos s distintos, presos aos pontos A e B.

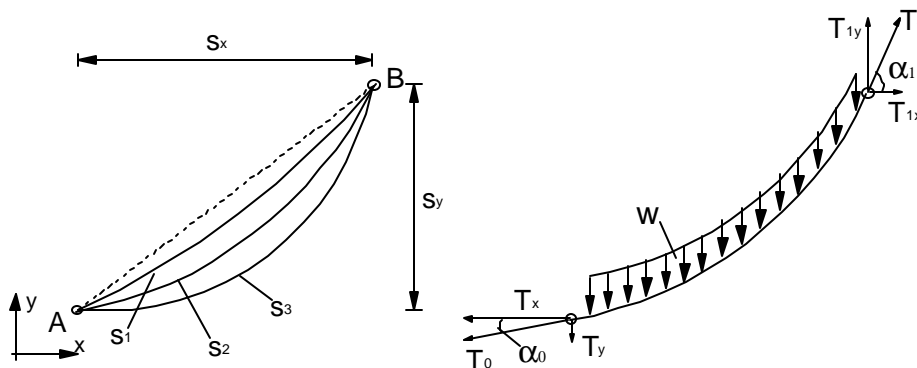


Figura 2.1: (a) Algumas configurações de cabos; (b) diagrama de corpo livre de um cabo.

Os pontos de fixação A e B, exercem sobre o cabo, reações na direção tangencial ao seu eixo, que são decompostas segundo as direções x e y (Figura 2.1b). A reação no ponto A é indicada pela força T_0 e sua direção é dada pelo ângulo α_0 . No ponto B a força que age sobre o cabo, ou sobre a torre, é T_1 e sua direção é dada por α_1 .

Para as três configurações indicadas na Figura 2.1a (comprimentos s_1 , s_2 e s_3), tem-se três valores diferentes para as reações em A e B. Estas reações, ou esforços que os cabos exercem sobre os apoios, são justamente o que se deseja conhecer. As variáveis que influenciam estas forças são:

Projeção horizontal do cabo, s_x .

Projeção vertical do cabo, s_y ;

Comprimento do cabo, s ;

Peso do cabo por metro, w ;

O esforço axial de tração é diferente em cada seção transversal ao longo do comprimento s , ao passo que a componente horizontal, T_x , se mantém constante. Isto fica evidenciado ao se considerar o equilíbrio das forças horizontais no diagrama de corpo livre da Figura 2.1b. Tem-se pois que

$$T_1 \cos a_1 - T_0 \cos a_0 = 0 \quad (2.1)$$

Assim, T_x é constante e dado por

$$T_x = T_0 \cos a_0 \quad (2.2)$$

Considerando o equilíbrio das forças segundo y , tem-se

$$T_1 \sin a_1 = T_0 \sin a_0 + ws \quad (2.3)$$

Dividindo a equação (2.3) por T_x e lembrando que a tangente à curva é a derivada com relação a x ($\tan a = dy/dx$), chega-se a:

$$\frac{dy}{dx} = \tan a_0 + \frac{ws}{T_x} \quad (2.4)$$

Sabendo que o comprimento de um elemento infinitesimal do cabo é dado por

$$ds = \sqrt{dx^2 + dy^2} \quad (2.5)$$

pode-se escrever dx em função de dy e ds ou dy em função de dx e ds .

A partir das equações (2.4) e (2.5), tem-se

$$dx = \frac{ds}{\sqrt{1 + \left(\tan a_0 + \frac{ws}{T_x} \right)^2}} \quad (2.6.a)$$

$$dy = \frac{ds}{\sqrt{1 + \frac{1}{\left(\tan a_0 + \frac{ws}{T_x} \right)^2}}} \quad (2.6.b)$$

Integrando ambos os lados das equações (2.6) e aplicando as condições de contorno, chega-se às equações que definem os valores das projeções s_x e s_y do comprimento do cabo, a saber

$$s_x = \frac{T_x}{w} \left(\ln \left(\tan a_0 + \frac{ws}{T_x} + \sqrt{1 + \left(\tan a_0 + \frac{ws}{T_x} \right)^2} \right) - \ln \left(\frac{\sin a_0 + 1}{\cos a_0} \right) \right) \quad (2.7.a)$$

$$s_y = \frac{\sqrt{T_x^2 + (\tan a_0 T_x + ws)^2} - T_x \sqrt{1 + \tan^2 a_0}}{w} \quad (2.7.b)$$

As incógnitas das equações (2.7) são a componente horizontal da força no cabo, T_x , e o ângulo inicial do cabo com a horizontal a_0 , uma vez que as projeções s_x e s_y , o peso ao longo do comprimento w e o comprimento s são valores conhecidos de acordo com as características do cabo e do projeto da torre.

É possível determinar T_x em (2.7.b) e inseri-lo em (2.7.a), restando apenas o ângulo a_0 como incógnita, que deve ser obtido por um processo iterativo. Os valores de a_0 e T_x encontrados devem atender às equações (2.7) com um certo grau de tolerância.

O valor de T_x obtido em 2.7.b é dado por

$$T_x = \frac{w(s^2 - s_y^2)}{2 \left(s_y \sqrt{1 + \tan^2 a_0} - s \tan a_0 \right)} \quad (2.8)$$

Após determinar a_0 , calcula-se T_x , que é constante ao longo do cabo. Dispondo de a_0 e T_x obtém-se T_0 por (2.2). O valor da componente vertical, T_y , da força do cabo T_1 que atua sobre o ponto B deverá ser calculado para obter a força resultante T_1 . Do somatório de forças verticais, tem-se que

$$T_y = T_0 \operatorname{sen} a_0 + ws \quad (2.9)$$

A força que atua na extremidade B é, portanto:

$$T_1 = \sqrt{T_x^2 + T_y^2} \quad (2.10)$$

2.2.

Determinação da inclinação inicial da catenária incompleta- a_0

O ângulo inicial a_0 que o cabo faz com a horizontal é considerado positivo no sentido anti-horário, medido a partir do eixo horizontal. Quando a_0 vale zero,

a forma assumida pelo cabo é chamada de catenária completa e corresponde a uma situação limite da catenária incompleta

Valores negativos para a_0 são aceitos dependendo do relevo do terreno, isto pode ser melhor compreendido pela Figura 2.2. Na figura, tem-se um cabo em um terreno plano, e a medida em que a torre gira para a esquerda, o cabo afrouxa até tocar o solo. Dessa forma, o ponto de apoio inicialmente em A, passa a ser A' e a inclinação a_0 permanece nula no início da catenária. Neste trabalho considerou-se este segundo tipo de comportamento e, portanto, o a_0 só é determinado quando a catenária for incompleta, quando a catenária é completa o procedimento a ser seguido está indicado a seguir.

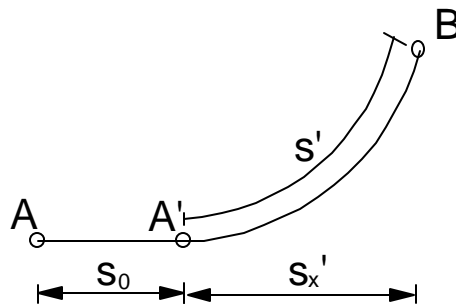


Figura 2.2: cabo em uma configuração frouxa.

Para obter a_0 , deve-se passar s_x para o lado direito da equação (2.7.a), obtendo-se

$$e = \frac{T_x}{w} \left(\ln \left(\tan a_0 + \frac{ws}{T_x} + \sqrt{1 + \left(\tan a_0 + \frac{ws}{T_x} \right)^2} \right) - \ln \left(\frac{\sin a_0 + 1}{\cos a_0} \right) \right) - s_x = 0 \quad (2.11)$$

Para saber se o cabo possui a forma de catenária incompleta, faz-se inicialmente $a_0 = 0$ em (2.11), e verifica-se se o erro e é maior ou menor que zero. Se e for menor que zero, quer dizer que é necessário afrouxar o cabo para que o mesmo torne-se uma catenária completa. Neste caso o cabo é uma catenária incompleta e o a_0 que produz $e = 0$ é obtido através de pequenos incrementos em a_0 , até que a igualdade seja satisfeita. Para $e > 0$ significa que o cabo deve ser esticado para ser uma catenária completa, conseqüentemente o a_0 que é obtido é menor que zero. Uma outra forma de saber se o cabo tem a forma de uma catenária incompleta é sugerido em [10], através da fixação de um valor limite para T_x .

Deve-se ter um cuidado especial quando o comprimento do cabo, s , for próximo a $\sqrt{s_x^2 + s_y^2}$, porque durante o processo iterativo, a_0 poderá assumir valores que resultam em um T_x negativo. Isto conseqüentemente produz um $e < 0$, indicando assim que a_0 deve ser incrementado novamente. Para obter a solução, valores negativos para T_x não poderão ser aceitos. Deste modo, deve-se voltar ao valor anterior de a_0 e diminuir o valor do incremento e continuar o processo.

2.3.

Determinação do comprimento do cabo e sua projeção horizontal em catenárias completas

Como já mencionado, no caso em que $e > 0$, o cabo terá que ser esticado para atingir a forma de catenária completa, estando portanto, frouxo. Como foi assumido que uma parte, de comprimento, s_0 , do cabo frouxo está sobre o solo, a reação no apoio B irá diminuir, já que apenas uma parcela do cabo está pendurada (fig. 2.2).

Para determinar a nova reação em B, é necessário descobrir quais são os novos valores de s_x e s . Sabendo que tanto s quanto s_x diminuem de um valor s_0 e que $a_0 = 0$, substitui-se estes valores na equação (2.11), de onde se tem que

$$e = \frac{((s-s_0)^2 - s_y^2)}{2} \ln \left(2 \frac{s_y}{(s-s_0)^2 - s_y^2} + \sqrt{1 + \frac{4(s-s_0)^2 s_y^2}{((s-s_0)^2 - s_y^2)^2}} \right) - s_x + s_0 \quad (2.12)$$

Incrementa-se s_0 , partindo de zero até se obter $e = 0$ na equação (2.12). Em seguida, dispondo do s_0 que faz com que $e = 0$, calcula-se as reações nos apoios A' e B tendo como parâmetros $s_x' = s_x - s_0$, s_y , $s' = s - s_0$ e w .

2.4.

Equação da catenária

Para obter a equação da catenária em função de x , basta derivar a equação (2.4) em relação a s , dividir ambos os lados por dx e substituir o valor de ds/dx dado por (2.5). A partir deste procedimento, chega-se à seguinte equação diferencial não-linear

$$\frac{d^2y}{dx^2} - \frac{w}{T_x} \sqrt{1 + \left(\frac{dy}{dx}\right)^2} = 0 \quad (2.13)$$

Resolvendo a equação diferencial e aplicando as condições de contorno ($y = 0$ e $dy/dx = \tan a_0$ quando $x = 0$), chega-se à seguinte solução

$$y = \frac{T_x}{w} \left(\cosh\left(\frac{wx}{T_x} + \operatorname{arcsen} h(\tan a_0)\right) - \sqrt{\tan^2 a_0 + 1} \right) \quad (2.14)$$

Detalhes poderão ser obtidos na referência [11], que chega à equação (2.13) a partir do equilíbrio de um elemento infinitesimal e apresenta ainda soluções para outros tipos de carregamento.

2.5.

Variação da força de tração ao longo do cabo

Derivando a equação (2.14) em relação a x , se obtém a inclinação da tangente, α , para cada ponto ao longo deste, ou seja

$$a = \arctan \frac{dy}{dx} \quad (2.15)$$

Como T_x é conhecido em qualquer ponto obtém-se a força T ao longo de s em função de x , a saber

$$T = \frac{T_x}{\cos a} \quad (2.16)$$

Assim:

$$T = T_x \sqrt{1 + \operatorname{senh}^2\left(\frac{wx}{T_x} + \operatorname{arcsen} h(\tan a_0)\right)} \quad (2.17)$$

Para facilitar o estudo paramétrico apresentado nos próximos capítulos, o comprimento, s , do cabo, passa a ser definido como a distância entre as extremidades da catenária (segmento pontilhado que une os pontos A e B na Figura 2.1a), multiplicado por uma variável, f . Assumiu-se chamar esta variável de fator de protensão, porém ela está diretamente relacionado com a geometria. Quanto maior for o valor de f , mais comprido é o cabo e menor é o nível de tensão a que o mesmo está sujeito. O valor 1 para f corresponde a uma situação limite e o cabo, por ser considerado inextensível, neste caso apresenta um valor infinito para o esforço de tração.

$$s = f \sqrt{s_x^2 + s_y^2} \quad (2.18)$$

A variação de T (equação (2.17)) ao longo de x é idêntica à de y , como mostra a Figura 2.3, para alguns valores de f , tomando como exemplo um cabo com as seguintes características:

Projeção horizontal do cabo, $s_x = 100m$.

Projeção vertical, $s_y = 50m$.

Peso próprio do cabo, $w = 71,81N/m$.

Nas duas curvas inferiores da Figura 2.3a foram adicionadas a y m fator de correção para facilitar a comparação das formas mostradas em (a) com aquelas mostradas em (b).

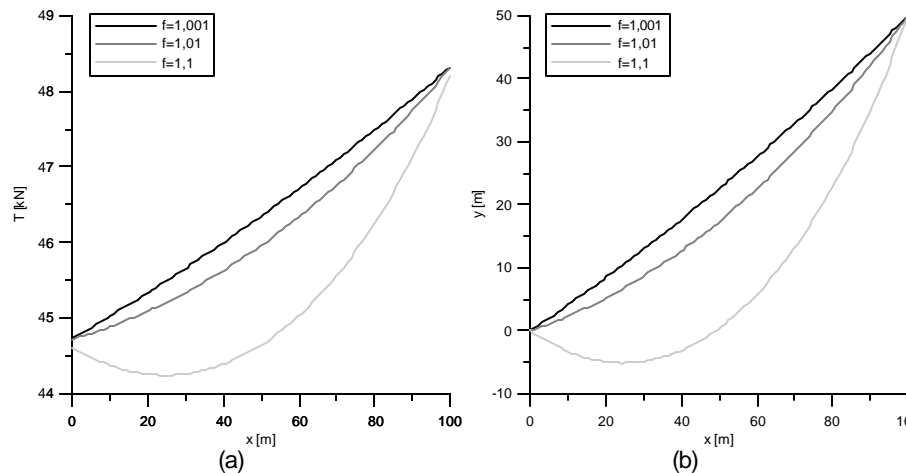


Figura 2.3: (a) Variação da tração ao longo do cabo; (b) forma da catenária

2.6. Deformações dos cabos

Conforme já dito, os cabos são considerados inextensíveis, o que é uma hipótese usual na literatura, pois produz uma simplificação nas equações diferenciais do cabo. Nesta seção mostra-se que as deformações possuem um efeito muito pequeno, justificando essa hipótese.

Como a força varia ao longo do cabo, o alongamento do mesmo é dado por

$$\Delta l = \frac{1}{EA_m} \int T ds \quad (2.19)$$

onde ds é escrito em função de x usando a relação (2.6.a) e:

E é o módulo de elasticidade longitudinal.

A_m é a área da seção transversal.

E e A_m são fornecidos pelo fabricante de acordo com o tipo do cabo.

De acordo com a referência [12], pode-se estimar em 0,25% a 0,50% a deformação de um cabo, quando o mesmo estiver submetido a um 1/5 da carga de ruptura.

A fim de verificar esta recomendação, analisou-se um cabo fixado aos pontos A e B, como na Figura 2.1a. Os resultados obtidos pela equação (2.19) foram sempre menores, até mesmo para carregamentos bem superiores a um quinto da carga de ruptura. A Tabela 2.1 exhibe as deformações obtidas dividindo a equação (2.19) pelo comprimento inicial do cabo, e comparando-as com a deformação obtida quando a força no cabo é considerada constante ao longo do mesmo.

Na análise, o único carregamento considerado foi o de peso próprio. De acordo com o cabo escolhido (bitola 5/8", $w = 71,81N/m$), adotou-se $E = 153,036GPa$ e $A_m = 9,216e - 4m^2$, resultando numa carga de 247,21 kN como sendo 1/5 da carga de ruptura do cabo. Para poder atingir um esforço de tração em B aproximadamente igual a este valor precisou-se adotar cabos extremamente longos, com comprimentos bem superiores aos usuais em torres estaiadas, como mostrado na Tabela 2.1.

De agora em diante α é utilizado para representar a inclinação do segmento pontilhado que une os pontos A e B na Figura 2.1a, e não mais a inclinação da catenária. Em todos os casos aqui analisados adotou-se em (2.18) $f = 1,001$, o que corresponde a um cabo bem esticado.

α [°]	S[m]	$\Delta l / s$ [%]	T / EA_m [%]	T[kN]
5	550,55	0,180	0,182	256,49
20	580,58	0,179	0,185	260,63
35	650,65	0,175	0,185	261,26
50	800,80	0,170	0,186	261,92
65	1101,10	0,155	0,180	254,32
85	3003,00	0,111	0,187	263,64

Tabela 2.1: Deformação do cabo em função da inclinação da reta que passa pelos pontos extremos do cabo, α .

Considerando que os cabos em dimensões mais usuais apresentam menores deformações devido ao menor carregamento de peso próprio que terão que suportar, pode-se desprezar as deformações nos cabos.

Um aspecto interessante que foi observado, mantendo-se s constante, foi que, à medida que a inclinação da hipotenusa diminui, f terá que ir se aproximando cada vez mais de 1 para que a resposta seja uma catenária

incompleta, isto é, para que o ângulo da catenária no ponto A seja diferente de zero.

2.7. Principais características dos cabos de aço

As informações e todas as figuras contidas nesta seção foram retiradas da referência [12].

A Figura 2.4 exibe um modelo onde se explica a nomenclatura e o processo usado na construção de cabos de aço. O tipo da construção revela quantas pernas tem o cabo, quantos arames possuem cada perna, etc. Os cabos de aço são catalogados de acordo com essas características.

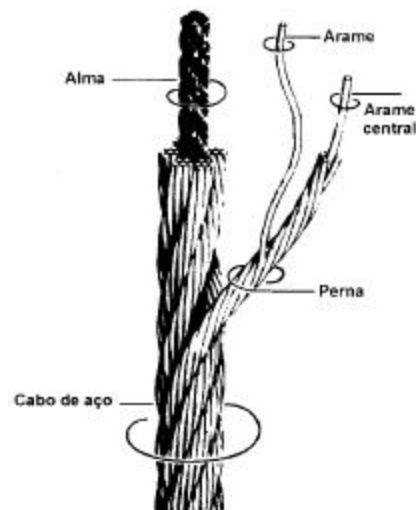


Figura 2.4: Nomenclatura empregada na fabricação de cabos de aço, figura retirada da referência [12].

A carga de serviço máxima que um cabo pode suportar é a carga de ruptura dividida por um fator de segurança. O fator de segurança que este fabricante recomenda para torres estaiadas é de três a quatro.

Um aspecto importante que é mencionado pelo fabricante é a deformação produzida pelo acomodamento das pernas do cabo em relação a sua alma. Ela é de caráter permanente e inicia-se assim que o cabo é solicitado, geralmente ocorrendo nos primeiros dias de serviço. O alongamento do cabo devido a esta acomodação pode chegar a 0,75% do comprimento, para cabos comuns.

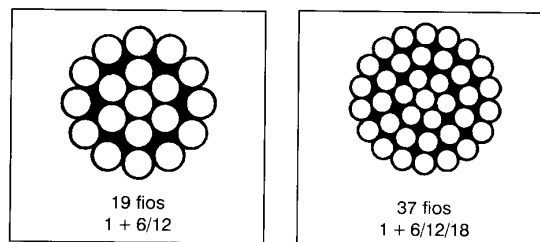
A deformação estrutural pode ser quase totalmente removida por um pré-tensionamento no cabo. Esta tensão deve ser maior que a tensão de serviço do cabo e menor que a tensão limite de proporcionalidade do mesmo. Cabos pré-

esticados e cabos usados possuem modulo de elasticidade aproximadamente 20% maior que um cabo novo que não foi pré-esticado.

A carga limite de proporcionalidade de um cabo vale aproximadamente 55% a 60% da carga de ruptura mínima.

Para os modelos desenvolvidos neste trabalho adotou-se um cabo de construção 6x19, galvanizado e pré-esticado. A tabela do fabricante que apresenta as características das cordoalhas recomendadas para torres estaiadas está reproduzida na Figura 2.5.

CORDOALHAS DE 19 E 37 ARAMES - TIRANTES
19 AND 37 WIRES STRAND - GUYS



Diâmetro <i>Diameter</i>		Construção da cordoalha <i>Strand construction</i>	Massa aproximada em kg/m <i>Approximate mass in kg/m</i>	Carga de ruptura mínima efetiva em tf <i>Minimum breaking load in tf</i>	
mm <i>mm</i>	Polegada <i>Inch</i>			140- 160 kgf/mm ²	155-175 kgf/mm ²
13,0	1/2"	1x19	0,77	-	13,0
14,5	9/16"	1x19	0,98	-	17,0
16,0	5/8"	1x19	1,22	-	21,0
19,0	3/4"	1x37	1,76	26,5	29,0
20,2	13/16"	1x37	1,98	29,0	32,8
22,0	7/8"	1x37	2,40	36,2	40,0
26,0	1"	1x37	3,12	46,6	50,0
29,0	1.1/8"	1x37	3,96	60,0	66,00

O valor da massa indicado na tabela é referencial, podendo variar em função da tolerância do passo da cordoalha.

Figura 2.5: Tabela de cabos para torres estaiadas, referência [12].